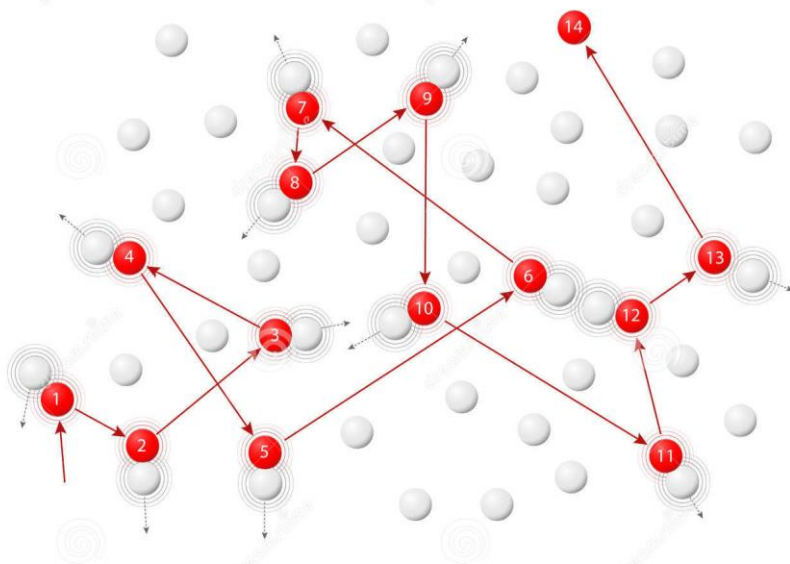


# 15. Anisotropic interactions

**Liquid**  $\equiv$  Brownian movement  
isotropic environment



Very fast molecular motion ( $10^{12}$  Hz)  
ALL the orientations coexist...

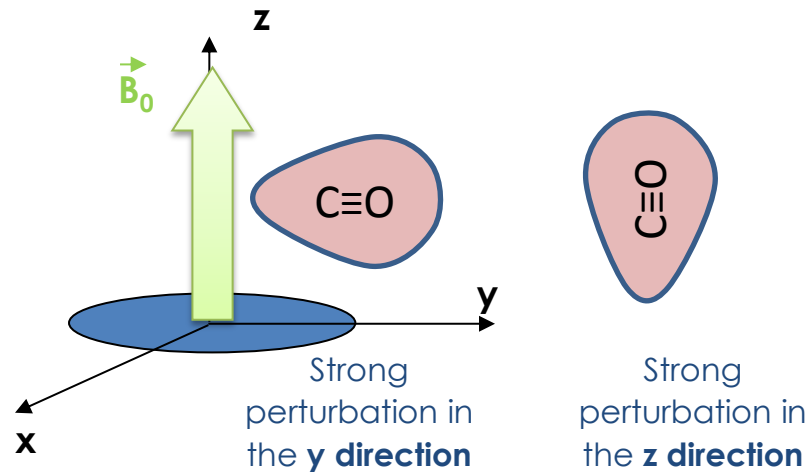
**Solid**  $\equiv$  anisotropic  
environment

The environment depends on  
the orientation respect to  
magnetic field  $B_0$

# 15 Chemical shift anisotropy

La perturbation de  $B_0$  autour noyau n'est pas parfaitement sphérique.  
 Dans une poudre, la perturbation dépend de la position du cristallite par rapport au champ magnétique statique  $B_0$ .  
 The chemical shift is ANISOTROPIC

## Example $\delta^{13}\text{C}$ of carbon monoxide



$$\begin{aligned}\vec{B}' &= (1 - \sigma) \vec{B}_0 \\ &= \vec{B}_0 - [\sigma] \vec{B}_0\end{aligned}$$

Perturbation term  
 $[\sigma]$  is not a scalar value !

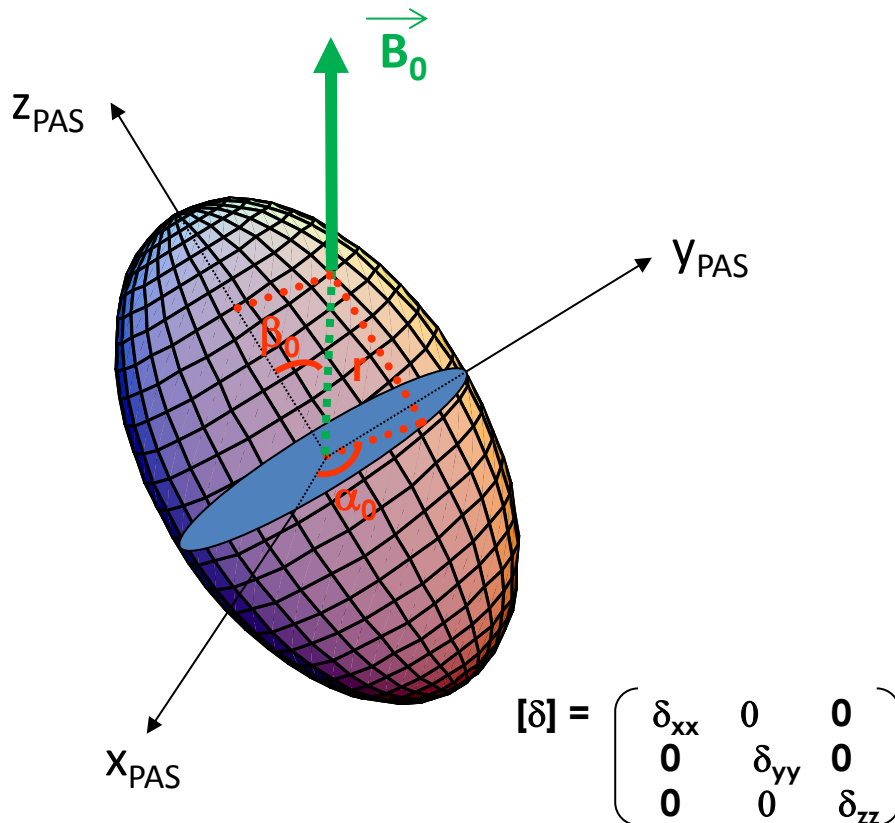
$$[\sigma] = \begin{pmatrix} \sigma_{xx} & \sigma_{xy} & \sigma_{xz} \\ \sigma_{yx} & \sigma_{yy} & \sigma_{yz} \\ \sigma_{zx} & \sigma_{zy} & \sigma_{zz} \end{pmatrix}$$

Thus, a diagonalization is possible !  
**In the Principal Axis System (PAS)**

$$[\sigma_{\text{PAS}}] = \begin{pmatrix} \sigma_{xx} & 0 & 0 \\ 0 & \sigma_{yy} & 0 \\ 0 & 0 & \sigma_{zz} \end{pmatrix}$$

# 15 Chemical shift anisotropy

Mathematical representation of the chemical shift can be achieved by an ellipsoid :  $\delta_{xx}X^2 + \delta_{yy}Y^2 + \delta_{zz}Z^2 = 1$



L'ellipsoïde coupe les axes du PAS en des points qui dépendent de  $\delta_{xx}$ ,  $\delta_{yy}$ ,  $\delta_{zz}$

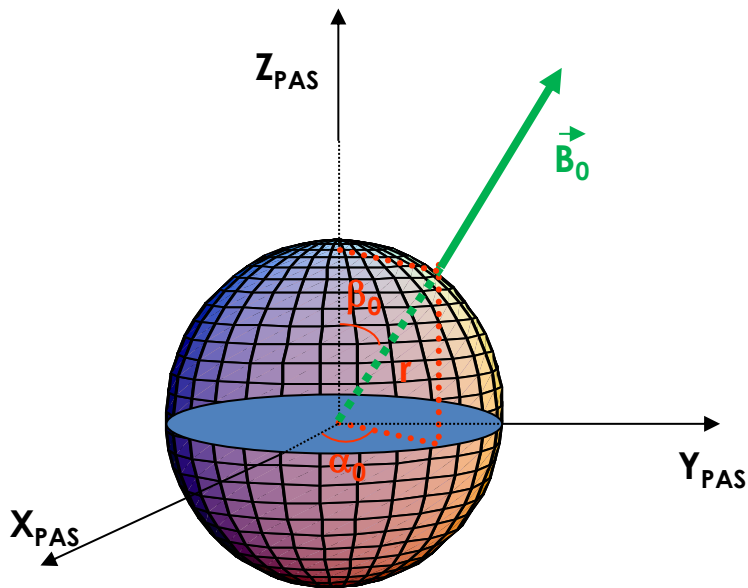
Les valeurs propres du tenseur d'anisotropie de déplacement chimique

Pour une poudre,  $B_0$  coupe l'ellipsoïde en un point :  
Le déplacement chimique qui dépend de l'orientation par rapport au champ  $B_0$

$$\delta_{iso} = 1/3 (\delta_{xx} + \delta_{yy} + \delta_{zz})$$

# 15 Chemical shift anisotropy

## Particular cases: the CSA tensor is spherical



*In this representation the PAS is fixed,  
orientation of  $B_0$  is varied*

$$\delta_{xx} = \delta_{yy} = \delta_{zz}$$

Whatever the position respect to the magnetic field,  $\delta$  is always the same.

Highly symmetric environment

OR solution state (brownian movement that average the CSA)

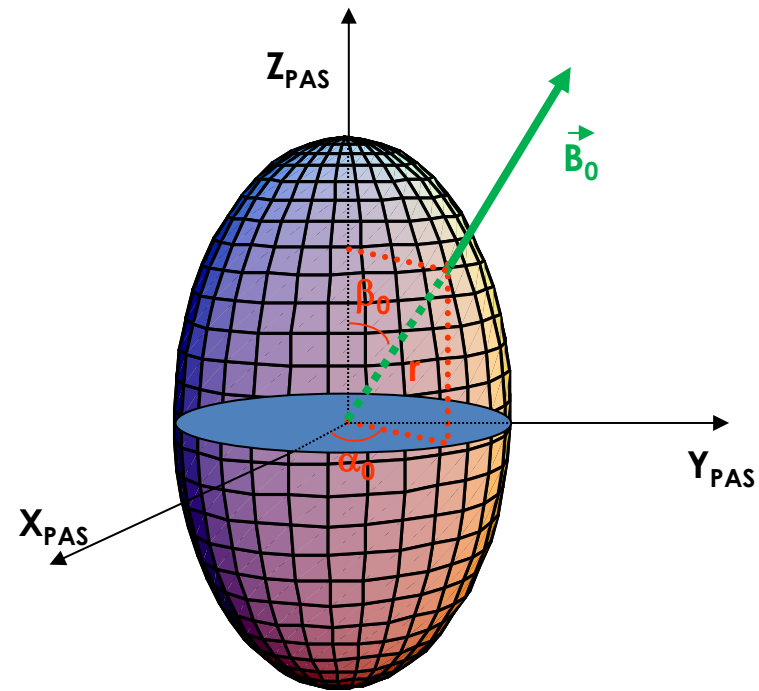
$$\delta_{iso} = \delta_{xx} = \delta_{yy} = \delta_{zz}$$

# 15 Chemical shift anisotropy

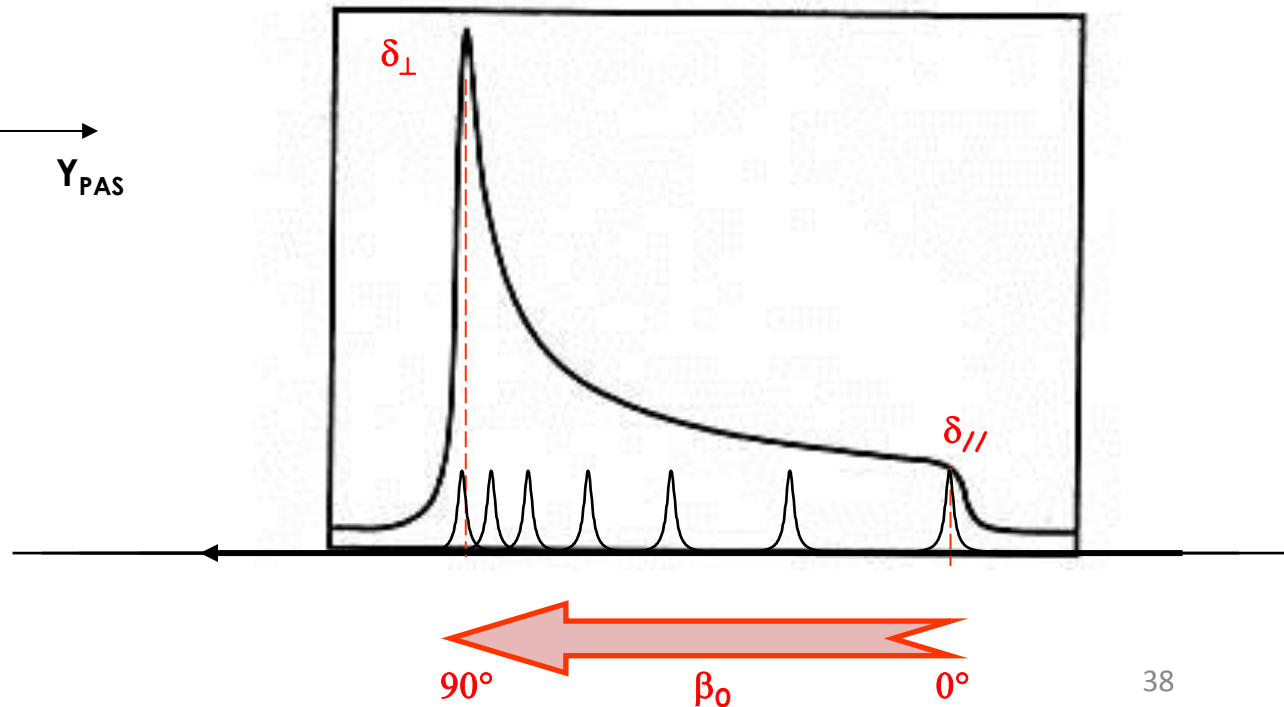
Particular cases: the CSA tensor is symmetrical

$$\text{Ex : } \delta_{XX} = \delta_{YY} \neq \delta_{ZZ} \quad \begin{aligned} \delta_{XX} = \delta_{YY} = \delta_{\perp} \\ \delta_{ZZ} = \delta_{\parallel} \end{aligned}$$

Pas de dépendance en  $\alpha_0$ , seulement en  $\beta_0$



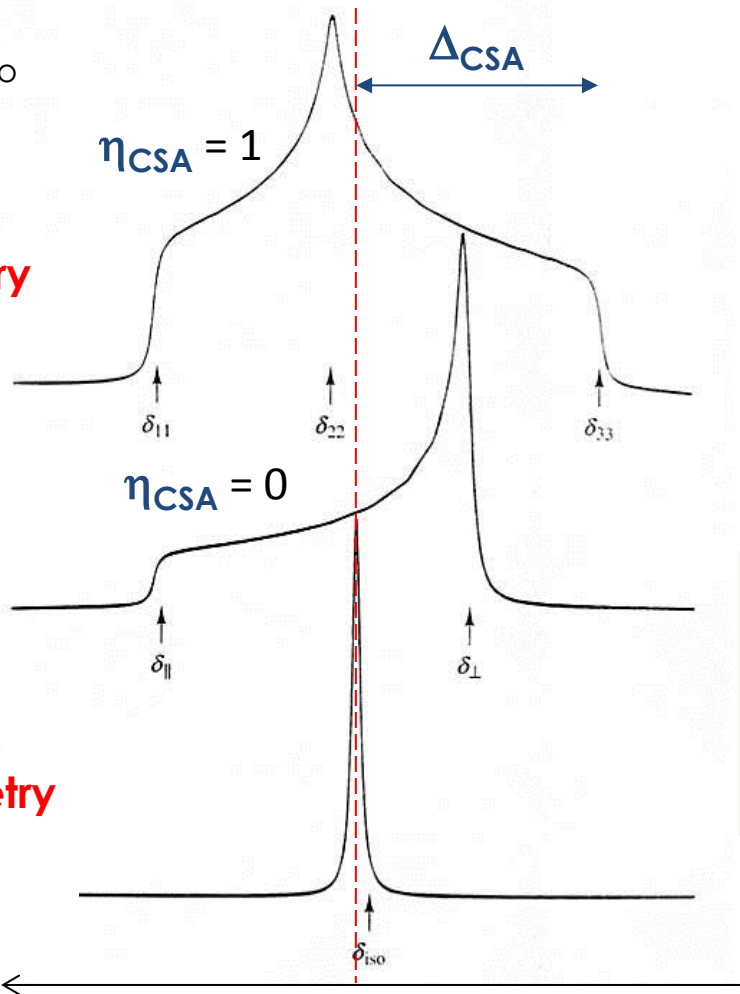
*In this representation the PAS is fixed, orientation of  $B_0$  is varied*



# 15 Chemical shift anisotropy

## Example of powder spectrum

For one given  $\delta_{iso}$



### General symmetry

$$\delta_{11} \neq \delta_{22} \neq \delta_{33}$$

$$\eta_{CSA} = 1$$

### Axial symmetry

$$\delta_{11} \neq \delta_{22} = \delta_{33}$$

$$\eta_{CSA} = 0$$

### Spherical symmetry

$$\delta_{11} = \delta_{22} = \delta_{33}$$

Two parameters are defined :

The “width”  $\Delta_{CSA}$

The “shape”  $\eta_{CSA}$

### Convention

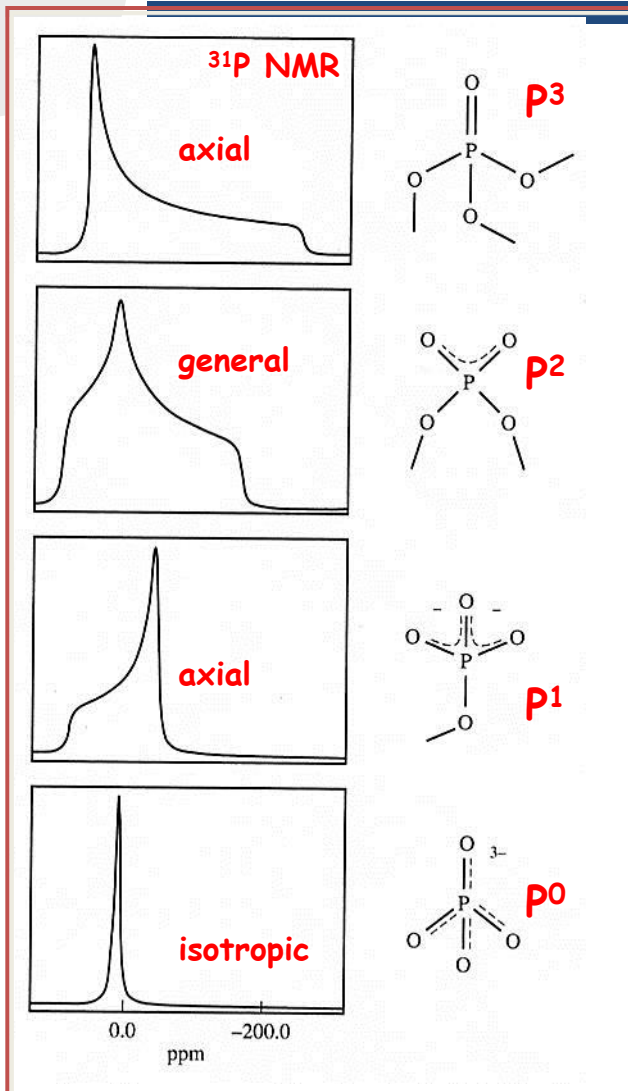
$\delta_{11}, \delta_{22}, \delta_{33}$  avec

$$|\delta_{33} - \delta_{iso}| \geq |\delta_{11} - \delta_{iso}| \geq |\delta_{22} - \delta_{iso}|$$

$$\Delta_{CS} = \delta_{33} - \delta_{iso}$$

$$\eta_{CS} = (\delta_{22} - \delta_{11}) / (\delta_{33} - \delta_{iso})$$

# 15 Chemical shift anisotropy



## Typical case of phosphates

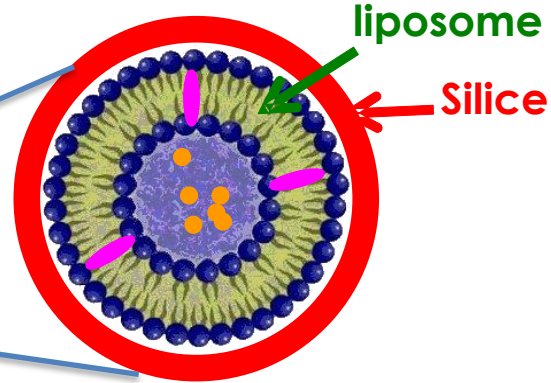
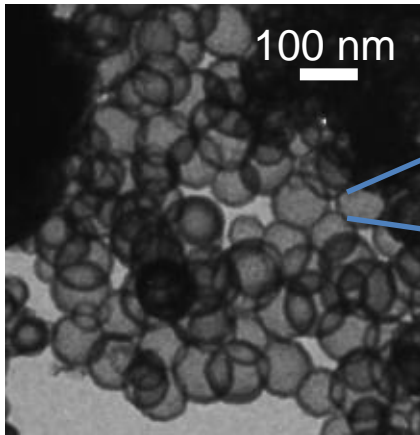
$\text{P}^n$  with n : number of P-O-P bridges

Relation symétrie vs CSA

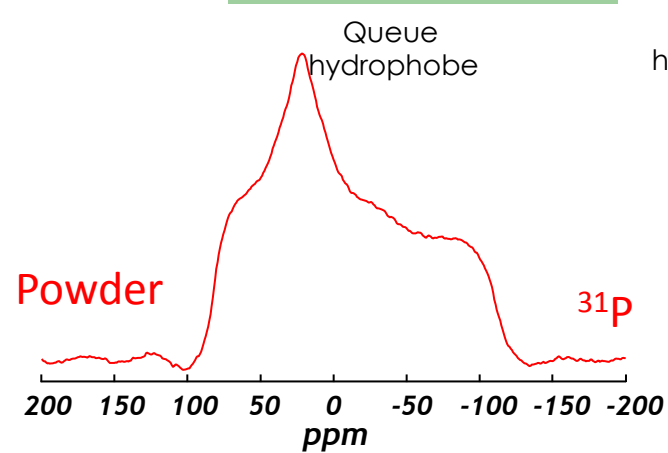
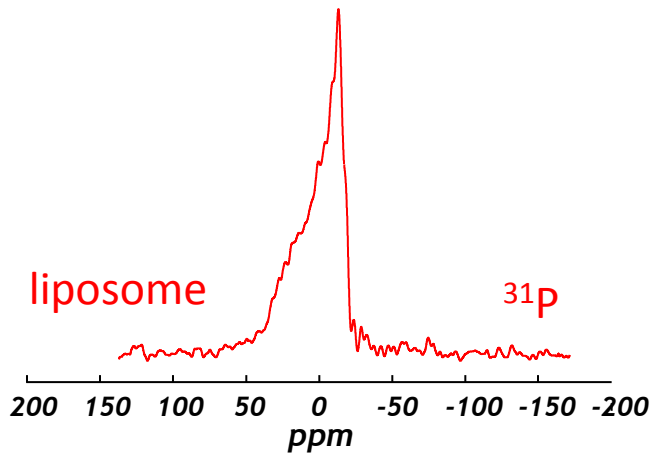
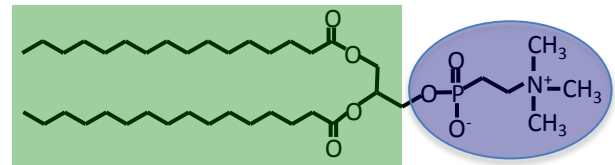
Exemple :

- $^{31}\text{P}$  (sels de phosphates)
- $^{29}\text{Si}$  (silicates - zéolites)
- $^{13}\text{C}$  (carbones  $\text{sp}^3$ ,  $\text{sp}^2$ ,  $\text{sp}^1$ )

# 15 Chemical shift anisotropy

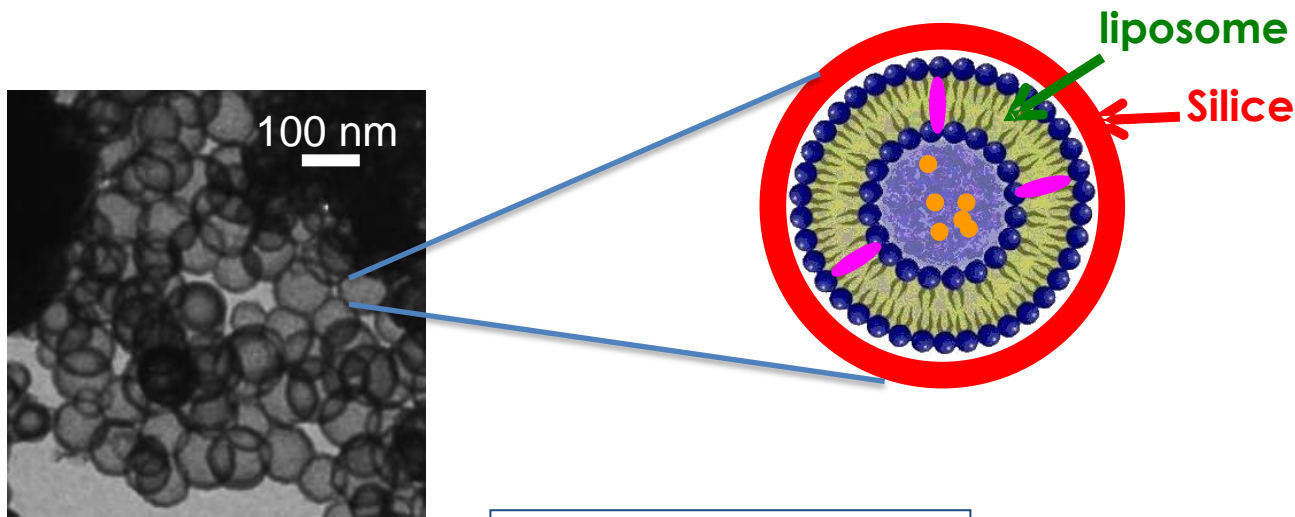


Phospholipide :  
DPPC (Dipalmitoylphosphatidylcholine )

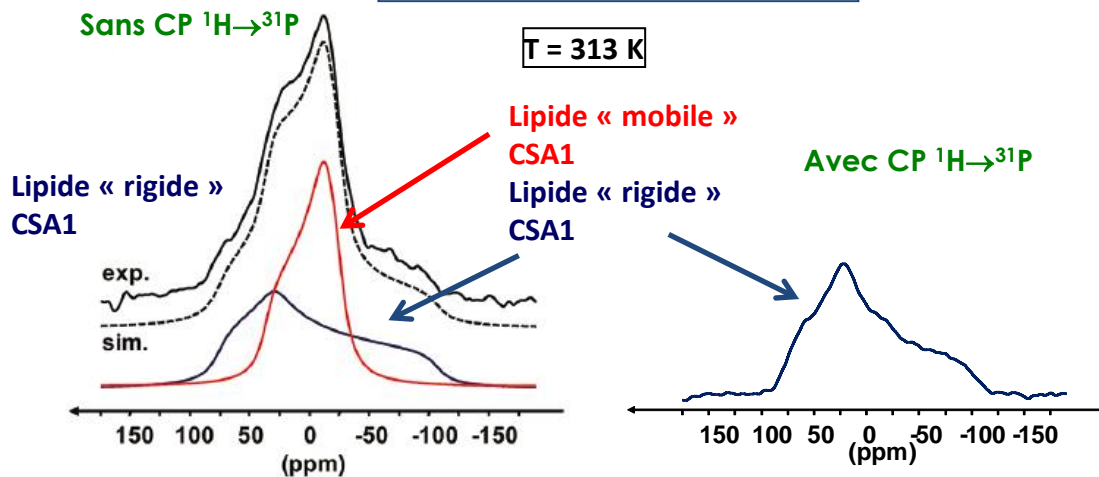




# 15 Chemical shift anisotropy



Echo  $^{31}\text{P}$  condition statique



**CSA1**  $\Delta_{\text{CSA1}} \approx -105 \text{ ppm}$  et  $\eta_{\text{CSA1}} \approx 0,6$

**CSA2**  $\Delta_{\text{CSA2}} \approx 35 \text{ ppm}$  et  $\eta_{\text{CSA2}} \approx 0,0$